Eingabe: Farbmetrisches Offset-Reflektiv-System ORS18 für Buntton $h^* = lab^*h = 38/360 = 0.105$ *lab*tch* und *lab*nch*

D65: Buntton O
LCH*Ma: 48 83 38
olv*Ma: 1.0 0.0 0.0

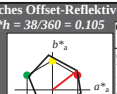

%Umfang
$u^*_{rel} = 93$

ORS18; adaptierte CIELAB-Daten	$L^*=L^*_a$	a^*_a	b^*_a	$C^*_{ab,a}$	$h^*_{ab,a}$
O_{Ma}	47.94	65.39	50.52	82.63	38
Y_{Ma}	90.37	−10.26	91.75	92.32	96
L_{Ma}	50.9	−62.83	34.96	71.91	151
C_{Ma}	58.62	−30.34	−45.01	54.3	236
V_{Ma}	25.72	31.1	−44.4	54.22	305
M_{Ma}	48.13	75.28	−8.36	75.74	354
N_{Ma}	18.01	0.0	0.0	0.0	0
W_{Ma}	95.41	0.0	0.0	0.0	0
R_{CIE}	39.92	58.66	26.98	64.57	25
J_{CIE}	81.26	−2.16	67.76	67.79	92
G_{CIE}	52.23	−42.25	11.76	43.87	164
B_{CIE}	30.57	1.15	−46.84	46.86	271

%Regularität
$g^*_{H,rel} = 57$
$g^*_{C,rel} = 59$

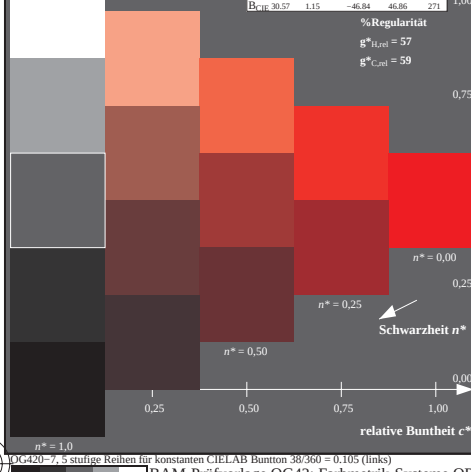

Ausgabe: Farbmetrisches Standard-Reflektiv-System SRS18 für Buntton $h^* = lab^*h = 30/360 = 0.083$ *lab*tch* und *lab*nch*

D65: Buntton O
LCH*Ma: 57 77 30
olv*Ma: 1.0 0.0 0.0

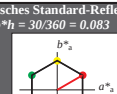

%Umfang
$u^*_{rel} = 100$

SRS18; adaptierte CIELAB-Daten	$L^*=L^*_a$	a^*_a	b^*_a	$C^*_{ab,a}$	$h^*_{ab,a}$
O_{Ma}	56.71	67.03	38.7	77.4	30
Y_{Ma}	56.71	0.0	77.4	77.4	90
L_{Ma}	56.71	−67.02	38.7	77.4	150
C_{Ma}	56.71	−67.02	−38.69	77.4	210
V_{Ma}	56.71	0.0	−77.39	77.4	270
M_{Ma}	56.71	67.03	−38.69	77.4	330
N_{Ma}	18.01	0.0	0.0	0.0	0
W_{Ma}	95.41	0.0	0.0	0.0	0
R_{CIE}	39.92	58.74	27.99	65.07	25
J_{CIE}	81.26	−2.88	71.56	71.62	92
G_{CIE}	52.23	−42.41	13.6	44.55	162
B_{CIE}	30.57	1.41	−46.46	46.49	272

%Regularität
$g^*_{H,rel} = 100$
$g^*_{C,rel} = 100$

OG420~7, 5 stufige Reihen für konstanten CIELAB Buntton 38/360 = 0.105 (links) 5 stufige Reihen für konstanten CIELAB Buntton 30/360 = 0.083 (rechts)

Siehe ähnliche Dateien: http://www.ps.bam.de/OG42/
Technische Information: http://www.ps.bam.de Version 2.1, io=0.0, CIELAB

BAM-Prüfvorlage OG42; Farbmetrik-Systeme ORS18 & SRS18 input: *cmy0* setcmykcolor*
D65: 5stufige Farbreihen und Koordinatendaten für 10 Banttöne output: *cmy0* / 000n* setcmykcolor*